

II-230 Lagrange 的時間スケールと Euler 的乱れ特性量の関係に関する一考察

京都大学大学院 学生員 大久保 清久
 京都大学工学部 正員 岩佐 義朗
 京都大学大学院 学生員 細田 尚

1. はじめに； 本研究は、Lagrange的時間スケール T_L と Euler 的乱れ特性量との関係について、Corrsin の関係式を用いた解析を行い、その結果を日野⁽²⁾が行った乱流拡散のシミュレーションによって検討したものである。

2. 基礎式； 空間座標を $\chi(x, y, z)$ 、その方向の流速を $u(u, v, w)$ とする。 x 方向の Lagrange 的速度の相関係数 $R_L(t-t_0)$ は、次のように表わされる。

$$\langle u^2 \rangle R_L(t-t_0) = \iiint_{-\infty}^{\infty} \langle u(x, t) \cdot u(x_0, t_0) \psi(x-x_0, t-t_0) \rangle dx \quad (1)$$

ここに、 $\psi(x-x_0, t-t_0) = \delta(x-x_0), x_0$ に x_0 に存在した流体粒子の x での座標、 $\langle \rangle$ ；アンサンブル平均 を表わす。Corrsin は $\langle u(x, t) \cdot u(x_0, t_0) \psi(x-x_0, t-t_0) \rangle = \langle u(x, t) \rangle \langle u(x_0, t_0) \rangle \langle \psi(x-x_0, t-t_0) \rangle$ と仮定し、
 $R_L(t-t_0) = \iiint_{-\infty}^{\infty} R_E(x, t | x_0, t_0) G(x, t | x_0, t_0) dx \quad (2)$

を導いている。ここに、 $G(x, t | x_0, t_0) = \langle \psi(x-x_0, t-t_0) \rangle, R_E(x, t | x_0, t_0)$ ； u の時空間相関係数。
 (2)式は、Robert⁽³⁾によって DI 近似を用いて導びかれることが示されている。本研究では簡単のため、さらには後節でのシミュレーションとの対応を考慮して、一次元的に取り扱うため、次のような仮定を設ける。

仮定① $R_E(x, t | x_0, t_0) = R_{EX}(x-U_0 t - x_0) \cdot R_{Ey}(y-y_0) \cdot R_{EZ}(z-z_0) \cdot R_o(t-t_0)$ と表わされる。 $(U_0$ ：一様流速)

② さらに、 $R_{Ey}(y-y_0) = R_{EZ}(z-z_0) = 1$ である。

①、②より、(2)式は、

$$R_L(t-t_0) = \int_{-\infty}^{\infty} R_{EX}(x-U_0 t - x_0) R_o(t) C(x-x_0, t-t_0) dx, \quad C(x-x_0, t-t_0) = \iint_{-\infty}^{\infty} G(x, t | x_0, t_0) dy dz \quad (3)$$

となる。以後、(3)式を基礎式とする。

3. 一様な乱流場のモデル； $R_{EX}(x-U_0 t - x_0) R_o(t-t_0)$ は、 U_0 で動く座標系では図-1 のようになる。 R_{EX}, R_o の関数形を次式で与える。

$$R_o(t) = \exp\left(-\frac{t}{T_0}\right), \quad \int_{-\infty}^{\infty} R_{EX}(x_i) \exp(-ikx_i) dx_i = \frac{L_E}{1 + (\frac{k}{L_E})^2} \quad (4)$$

ここに T_0 ； $R_o(t)$ の積分スケール、 L_E ； $R_{EX}(x_i)$ の積分スケール、 k ； 波数 である。

以後 k を λ と書く。

4. 解析方法と結果； Saffman⁽⁴⁾と同様に、 $C(x, t) = \frac{1}{\sqrt{2\pi \langle X^2(t) \rangle}} \exp\left(-\frac{x^2}{2\langle X^2(t) \rangle}\right) \quad (5)$

において、(4)、(5)式を(3)式へ代入し、無次元化すると、

$$R_L(t') = C \int_{-\infty}^{\infty} \frac{1}{1 + (\frac{k}{L_E})^2} \exp(-tk') \exp\left(-\frac{k'^2}{2} \langle X^2(t') \rangle \frac{\langle u^2 \rangle T_0^2}{L_E^2}\right) dk' \quad (6)$$

となる。ここに、 $t' = t/T_0, x' = x/L_E, \langle X^2(t') \rangle = \langle X^2(t) \rangle / \langle u^2 \rangle T_0^2, k' = k L_E$ である。その結果、 $R_L(t')$ は Euler 的乱れ特性量で作られる無次元化パラメータ $\alpha = L_E / \sqrt{\langle u^2 \rangle} T_0$ で規定されることがわかる。(6)式は Taylor の理論より得られる
 $R_L(t') = \frac{1}{2} \frac{d^2 \langle X^2(t') \rangle}{dt'^2} \quad (7)$

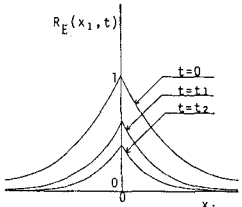


図-1

と連立して解くことができるが、一般には容易に求めることはできない。そこで本研究では、次のような収束計算を行った。まず収束計算の $\alpha = 0$ の値として、

$\langle X^2(t) \rangle$ の $t \rightarrow 0$ において成立する $\langle X^2(t) \rangle = \frac{L_E}{\sqrt{\langle u^2 \rangle T_0}}$ 式の右辺に代入して $\alpha = \frac{L_E}{\sqrt{\langle u^2 \rangle T_0}}$ の $R_L(t)$ を求め、これを(6)式に用いて $\alpha = 1$ の $\langle X^2 \rangle$ 、(6)式より次のステップの $R_L(t)$

を求める。この操作を収束するまで繰り返した。計算過程を $\alpha = 1$ に対して図-2(a), (b) に示したが、 $\alpha = 5$ で十分に収束しているのがわかる。次に求められた $R_L(t)$ を、パラメータ α に対して示したのが図-3 であり、 α が大きくなるにつれて $R_L(t)$ は $R_0(t)$ に漸近している。これは計算結果より求めた T_L/T_0 を α に対して示した図-4 からも明らかで、 α の増加とともに T_L/T_0 は増加し、1 に漸近する。また $\alpha > 10$ では、ほぼ $T_L \approx T_0$ とみなすことができる。図中、破線は従来より用いられている

$T_L = 0.4 L_E / \sqrt{\langle u^2 \rangle}$ であり、定性的には一致する。

5. 数値実験による検討； 解析結果の検討

をするため、3 節で述べた乱流のモデルを、日野が行なった拡散のシミュレーション法を用

いて計算した。粒子の追跡を行なうとき、粒子

の変位を $X(t)$ と表わすと、粒子の速度 v_L は、 $v_L = dX/dt$ となり、これ

を前節と同様に、 $v'_L = v_L / \sqrt{\langle u^2 \rangle}$, $X' = X/L_E$, $t' = t/T_0$ と無次元化

すると、 $v'_L = \frac{L_E}{\sqrt{\langle u^2 \rangle T_0}} \frac{dX'}{dt'} = \alpha \frac{dX'}{dt'}$ (8)

となり、無次元化パラメータ α が表われる。図-5, 6 に、粒子 40 個を平均した $\alpha = 1$ に対する v'_L のスペクトルと $\langle X'^2 \rangle$ を示した。図中、実線は、対応している 4 節での結果である。シミュレーションは、 $\Delta f, \Delta k$ のとり方で結果に若干の違いがみられるが、前節までの解析結果とほぼ一致している。

6. おわりに； 本研究の結果として、無次元化 Lagrange 的時間スケール

T_L/T_0 が、Euler 的乱れ特性量の無次元量である $L_E/\sqrt{\langle u^2 \rangle T_0}$ の関数となるこ

とが示され、 $L_E/\sqrt{\langle u^2 \rangle T_0} > 10$ となれば、 $T_L \approx T_0$ となることがわかった。

今後、多次元に拡張するとともに、実験的な検討も加えたい。

なお、数値計算等に多大な御協力をいただいた、野口好夫氏に深く感謝の意を表します。

参考文献 1) Corrsin, S.; Advances in Geophysics, Vol. 6, 1959

2) 日野幹雄他；第20回水理講演会講演集, 1975 3) Roberts, P.H.; J.

Fluid Mech, Vol. 11, 1961 4) Saffman, P.G.; Appl. Sci. Res. A,

Vol. 11, 1963 5) Taylor, G.T.; Proc. London Math. Soc. Ser. 2, Vol. 20, 1921

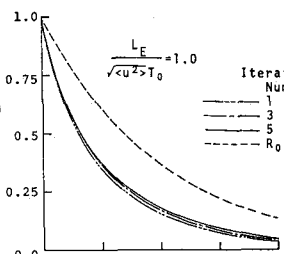


図-2(a)

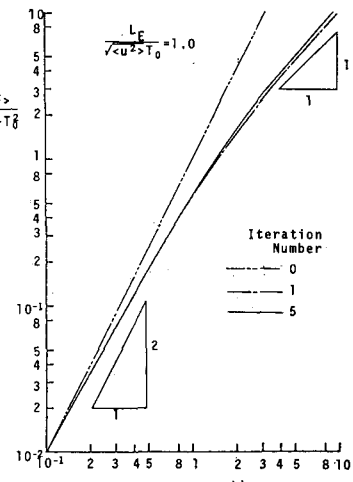


図-2(b)

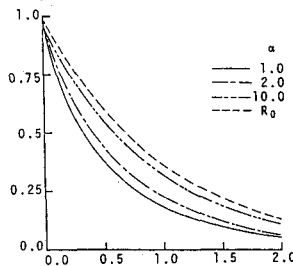


図-3

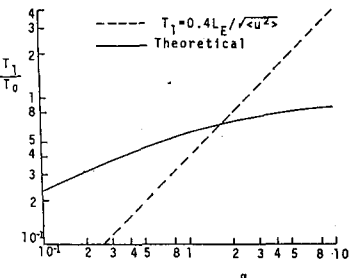


図-4

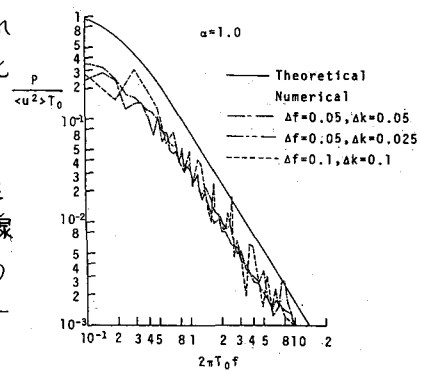


図-5

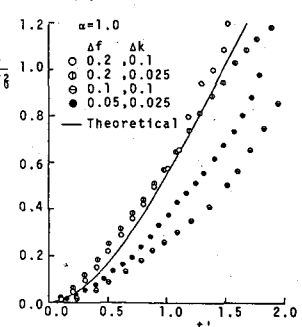


図-6